

## • 化学成分 •

## 地椒中醌类和酚苷类新化合物

许 哮<sup>1</sup>, 王小萍<sup>1</sup>, 沈 蒙<sup>1</sup>, 隋 宏<sup>2</sup>, 王 乐<sup>1</sup>, 范书生<sup>1</sup>, 王秀环<sup>1</sup>, 闫 眇<sup>1</sup>, 李 晓<sup>1</sup>, 折改梅<sup>1\*</sup>

1. 北京中医药大学中药学院, 北京 100102

2. 宁夏医科大学药学院, 宁夏 银川 750004

**摘要:** 目的 对地椒 *Thymus quinquecostatus* 化学成分进行研究, 以期发现新化合物。方法 采用色谱硅胶、AB-8 大孔树脂、Sephadex LH-20 凝胶色谱、ODS 反相色谱等多种技术进行分离纯化, 运用质谱、核磁共振谱等方法进行化合物结构鉴定。结果 从地椒醋酸乙酯部位分离得到 2 个化合物, 分别鉴定为 6-羟基-11-甲基-12-羟甲基萘并 [2,3-β] 呋喃-1,4-二酮(1)、2-羟基-4-异丙基-5-甲基苯-O-β-D-葡萄糖苷(2)。结论 化合物 1、2 为新化合物, 分别命名为地椒醌 A、地椒苷 A。

**关键词:** 地椒; 地椒醌 A; 地椒苷 A; 醌类; 酚苷类; 6-羟基-11-甲基-12-羟甲基萘并 [2,3-β] 呋喃-1,4-二酮; 2-羟基-4-异丙基-5-甲基苯-O-β-D-葡萄糖苷

中图分类号: R284.1 文献标志码: A 文章编号: 0253 - 2670(2020)05 - 1171 - 04

DOI: 10.7501/j.issn.0253-2670.2020.05.012

**A new quinone and a new phenolic glycoside from *Thymus quinquecostatus***XU Xiao<sup>1</sup>, WANG Xiao-ping<sup>1</sup>, SHEN Meng<sup>1</sup>, SUI Hong<sup>2</sup>, WANG Le<sup>1</sup>, FAN Shu-sheng<sup>1</sup>, WANG Xiu-huan<sup>1</sup>, YAN Xin<sup>1</sup>, LI Xiao<sup>1</sup>, SHE Gai-mei<sup>1</sup>

1. School of Chinese Materia Medica, Beijing University of Chinese Medicine, Beijing 100102, China

2. School of Pharmacy, Ningxia Medical University, Yinchuan 750004, China

**Abstract: Objective** To study the chemical components of *Thymus quinquecostatus* in order to find new compounds. **Methods** The constituents were separated by column chromatographic methods of silica gel, AB-8 resin, Sephadex LH-20 and ODS column. The structures were elucidated by MS and NMR analyses. **Results** Two compounds were isolated and identified as 6-hydroxy-11-methyl-12-hydroxymethyl naphtho [2,3-β] furan-1,4-dione (1) and 2-hydroxy-4-isopropyl-5-methylbenzene-O-β-D-glucopyranoside (2). **Conclusion** Compounds 1 and 2 are new compounds, named quinquequinone A and quinqueside A, respectively.

**Key words:** *Thymus quinquecostatus* Célak.; quinquequinone A; quinqueside A; quinone; phenolic glycoside; 6-hydroxy-11-methyl-12-hydroxymethyl naphtho [2,3-β] furan-1,4-dione; 2-hydroxy-4-isopropyl-5-methylbenzene-O-β-D-glucopyranoside

地椒 *Thymus quinquecostatus* Célak. 为唇形科百里香属植物的地上市部分, 又被称为地花椒、百里香、山椒、山胡椒等, 始载于宋代《嘉佑本草》<sup>[1]</sup>, 《中国药植图鉴》《陕西中草药》和《新疆中草药手册》均有记载, 其性味辛、温, 主要分布于我国的西北地区, 民间常用于治疗感冒头痛、慢性气管炎、慢性胃痛、急性胃肠炎、牙痛及湿疹瘙痒等疾病<sup>[2-3]</sup>。

现代药理研究表明, 地椒具有抗炎、抗菌以及抗肝癌、胃癌的作用<sup>[4-6]</sup>, 其化学成分主要为挥发性、黄酮类、酚酸类等化合物<sup>[7-10]</sup>。本实验对地椒乙醇提取物的醋酸乙酯部位进行化学成分研究, 从中分离得到 2 个化合物, 分别鉴定为 6-羟基-11-甲基-12-羟甲基萘并 [2,3-β] 呋喃-1,4-二酮 (6-hydroxy-11-methyl-12-hydroxymethyl naphtho [2,3-β] furan-1,4-

收稿日期: 2019-07-12

基金项目: 国家自然科学基金资助项目 (81760769); 宁夏回族自治区重点研发计划 (2018BEG03016); 北京中医药大学青年教师项目 (1000061222118)

作者简介: 许 哮 (1995—), 女, 在读硕士, 研究方向为中药、民族药药效成分和新药创制研究。Tel: 13521701679 E-mail: xux\_26@163.com

\*通信作者 折改梅 (1976—), 女, 研究员, 博士生导师, 研究方向为中(民族)药药效成分和新药创制研究。

Tel: (010)84738628 E-mail: shegaimei@126.com

dione, **1**)、2-羟基-4-异丙基-5-甲基苯-O- $\beta$ -D-葡萄糖苷(2-hydroxy-4-isopropyl-5-methylbenzene-O- $\beta$ -D-glucopyranoside, **2**)，化合物**1**和**2**均为新化合物，分别命名为地椒醌A和地椒苷A。结构见图1。

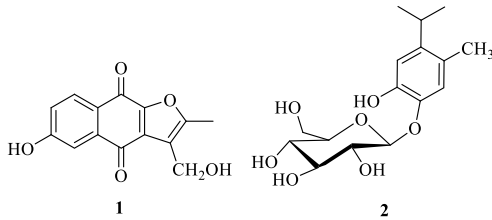


图 1 化合物**1**和**2**的结构

Fig. 1 Chemical structures of compounds **1** and **2**

## 1 仪器与材料

Esquire-LC\_00054 质谱仪、Avance III (500 MHz)超导核磁共振仪(瑞士 Brucker 公司); RE-52A 旋转蒸发器(上海亚荣生化仪器厂); SHB-III 循环水式多用真空泵(北京中兴伟业有限公司)。柱色谱硅胶(100~200、200~300 目, 青岛海洋化工厂); ODS 色谱材料(日本三菱化学公司); AB-8 型大孔树脂(天津南开大学化工厂); Sephadex LH-20 (18~110  $\mu\text{m}$ , 瑞典 Pharmacia 公司)。

地椒药材采自陕西榆林, 由新疆农业大学马生军教授鉴定为唇形科百里香属植物地椒 *Thymus quinquecostatus* Célak. 的干燥地上部分。

## 2 提取与分离

取干燥地椒 8 kg, 加入 10 倍量 70%乙醇回流提取, 提取温度 85 °C, 提取 3 次, 每次 2 h, 滤过, 合并提取液, 减压浓缩至无醇味, 再依次用石油醚(60~90 °C)、三氯甲烷、醋酸乙酯、水饱和正丁醇进行萃取, 最终得到石油醚部位(8.8 g)、三氯甲烷部位(35.4 g)、醋酸乙酯部位(43.3 g)、正丁醇部位(36.3 g)和水部位(36.2 g)。

取醋酸乙酯部位, 经硅胶(200~300 目)柱色谱分离, 以三氯甲烷-甲醇-水(9:1:0.1→5:5:1)梯度洗脱, 收集洗脱流分, 得到 5 个馏份 Fr. 1~5。其中, Fr. 5 (26.8 g, 三氯甲烷-甲醇-水 5:5:1 洗脱部位)经 AB-8 大孔树脂、ODS 反相色谱、Sephadex LH-20 凝胶色谱, 甲醇-水(0:100→100:0)洗脱, 反复纯化, 得到化合物**1**(28 mg)和**2**(5.1 mg)。

## 3 结构鉴定

化合物**1**: 紫色针状结晶(甲醇), 易溶于甲醇, 微溶于氯仿、丙酮等溶剂。HR-ESI-MS  $m/z$ : 259.061 2 [ $\text{M}+\text{H}$ ]<sup>+</sup> (计算值 258.052 8), 结合<sup>1</sup>H-NMR 谱和

<sup>13</sup>C-NMR 谱, 确定其分子式为  $\text{C}_{14}\text{H}_{10}\text{O}_5$ , 计算不饱和度为 10。

<sup>1</sup>H-NMR(500 MHz, DMSO-*d*<sub>6</sub>) 谱中,  $\delta_{\text{H}}$  11.00 (1H, s, 6-OH) 为苯环上活泼氢信号;  $\delta_{\text{H}}$  7.92 (1H, d, *J*=8.5 Hz, H-8)、7.36 (1H, d, *J*=2.5 Hz, H-5)、7.13 (1H, dd, *J*=3.5, 8.5 Hz, H-7) 为苯环上 3 个芳氢的 ABX 偶合信号。<sup>13</sup>C-NMR(125 MHz, DMSO-*d*<sub>6</sub>) 谱中,  $\delta_{\text{C}}$  181.3 (s, C-4) 和 171.8 (s, C-1) 为 2 个羰基碳信号。<sup>13</sup>C-NMR 和 DEPT 谱中,  $\delta_{\text{C}}$  150.8 (C-2)、120.1 (C-3) 为季碳信号, 并相较于胡桃醌结构, 多出 2 个季碳信号  $\delta_{\text{C}}$  157.2 (C-11)、128.3 (C-12), 1 个亚甲基信号  $\delta_{\text{C}}$  53.8 (C-14) 和 1 个甲基信号  $\delta_{\text{C}}$  12.3 (C-13), 这与文献报道的五元环并萘醌型骨架<sup>[11-12]</sup>相似, 因此, 推测其萘醌结构中 C-2 和 C-3 被 1 个五元环取代。根据以上核磁信息推测化合物**1**为五元环并萘醌型化合物。

HSQC 谱中,  $\delta_{\text{H}}$  2.48 (3H, s) 与  $\delta_{\text{C}}$  12.3 (C-13) 上的碳直接相关联,  $\delta_{\text{H}}$  4.63 (2H, d, *J*=5.5 Hz) 与  $\delta_{\text{C}}$  53.8 (C-14) 上的碳直接相关联。结合 HMBC 谱(图 2), 可以看到 H-13 [ $\delta_{\text{H}}$  2.48 (3H, s)] 与 C-3 ( $\delta_{\text{C}}$  120.1)、C-12 ( $\delta_{\text{C}}$  128.3) 和 C-11 ( $\delta_{\text{C}}$  157.2) 相关, 并与 C-2 ( $\delta_{\text{C}}$  150.8) 弱相关; H-14 [ $\delta_{\text{H}}$  4.63 (2H, d, *J*=5.5 Hz)] 与 C-11 ( $\delta_{\text{C}}$  157.2)、C-12 ( $\delta_{\text{C}}$  128.3) 和 C-3 ( $\delta_{\text{C}}$  120.1) 相关, 故推断出结构片段 1 (图 2)。

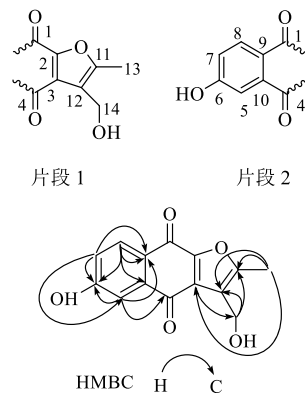


图 2 化合物**1**的结构片段和 HMBC 相关

Fig. 2 Structure fraction and HMBC correlations of compounds **1**

HSQC 谱中,  $\delta_{\text{H}}$  7.13 (1H, dd, *J*=3.5, 8.5 Hz, H-7) 和  $\delta_{\text{C}}$  120.2 (C-7) 上的碳直接相关联;  $\delta_{\text{H}}$  7.92 (1H, d, *J*=8.5 Hz, H-8) 与  $\delta_{\text{C}}$  129.1 (C-8) 上的碳直接相关联;  $\delta_{\text{H}}$  7.36 (1H, d, *J*=2.5 Hz, H-5) 与  $\delta_{\text{C}}$  112.8 (C-5) 上的碳直接相关联。结合 HMBC 谱, 可以看到 H-7 [ $\delta_{\text{H}}$  7.13 (1H, dd, *J*=3.5, 8.5 Hz, H-7)]

与 C-6 ( $\delta_C$  162.7)、C-9 ( $\delta_C$  123.7) 和 C-5 ( $\delta_C$  112.8) 相关; H-8 [ $\delta_H$  7.92 (1H, d,  $J = 8.5$  Hz, H-8)] 与 C-1 ( $\delta_C$  171.8)、C-6 ( $\delta_C$  162.7) 和 C-10 ( $\delta_C$  135.3) 相关, 并与 C-4 ( $\delta_C$  181.3) 弱相关; H-5 [ $\delta_H$  7.36 (1H, d,  $J = 2.5$  Hz, H-5)] 与 C-4 ( $\delta_C$  181.3)、C-6 ( $\delta_C$  162.7)、C-9 ( $\delta_C$  123.7) 和 C-7 ( $\delta_C$  120.2) 相关, 并且 H-5 与 C-3 ( $\delta_C$  120.1) 弱相关。结合 H-14 [ $\delta_H$  4.63 (2H, d,  $J = 5.5$  Hz)] 与 C-3 ( $\delta_C$  120.1) 相关, 以及 H-7 [ $\delta_H$  7.13 (1H, dd,  $J = 3.5, 8.5$  Hz, H-7)] 与 C-5 ( $\delta_C$  112.8) 相关, 推测苯环上 C-6 的氢原子被羟基取代, 推出结构片段 2 (图 2)。综上所述, 化合物 1 的结构鉴定为 6-羟基-11-甲基-12-羟甲基萘并 [2,3- $\beta$ ] 呋喃-1,4-二酮, 命名为地椒醍 A。经 Sci Finder Web 数据库检索, 该化合物为新化合物。

**化合物 2:** 白色粉末 (甲醇), 易溶于甲醇。  
HR-ESI-MS  $m/z$ : 346.185 7 [ $M + NH_4^+$ ] (计算值 328.152 2), 结合  $^1H$ -NMR 谱和  $^{13}C$ -NMR 谱, 确定其分子式为  $C_{16}H_{24}O_7$ , 计算不饱和度为 5。

$^1H$ -NMR (500 MHz, DMSO- $d_6$ ) 谱中,  $\delta_H$  6.92 (1H, s, H-3)、6.46 (1H, s, H-6) 为 2 个芳氢的质子信号, 提示为苯环上四取代; 且 2 个芳氢均为单峰, 提示 2 个芳氢可能处于对位。 $^{13}C$ -NMR (125 MHz, DMSO- $d_6$ ) 谱中,  $\delta_C$  150.6、150.5、134.1、127.1、117.8、116.1 为 1 组芳香碳信号, 提示分子中存在 1 个 1,2,4,5-四取代的苯环。 $^1H$ -NMR 谱中,  $\delta_H$  4.61 (1H, d,  $J = 7.5$  Hz) 为糖的端基质子信号,  $\delta_H$  3.82~3.23 为糖上的其他质子信号。 $^{13}C$ -NMR 谱中,  $\delta_C$  104.4、78.2、78.0、75.1、71.6、62.6 为 1 组吡喃糖的 6 个碳信号, 提示该化合物有 1 个吡喃葡萄糖。根据以上核磁数据推测化合物 2 为 1 个吡喃葡萄糖苷类化合物。

$^1H$ -NMR 谱中,  $\delta_H$  1.12 (6H, dd,  $J = 12.5$  Hz) 6 个质子信号为 2 个等价的甲基上的质子信号, 同时, 高场还出现了  $\delta_H$  3.12 (1H, m), 推测存在 1 个异丙基, 在  $^{13}C$ -NMR 谱中也观察到 1 个亚甲基碳信号  $\delta_C$  27.9 和 2 个甲基碳信号  $\delta_C$  23.2、23.1。 $\delta_H$  2.12 (3H, s) 的 3 个氢原子为单峰, 提示有 1 个甲基直接连接于苯环, 该甲基碳信号  $\delta_C$  16.2 在  $^{13}C$ -NMR 谱中也观察到。结合文献报道<sup>[13]</sup>, 推测苯环结构中有 1 个异丙基和 1 个甲基取代。

HSQC 谱中,  $\delta_H$  1.12 (3H, m), 1.12 (3H, m) 分别与  $\delta_C$  23.2 (C-9), 23.1 (C-8) 上的碳直接相关联,  $\delta_H$  3.12 (1H, m) 与  $\delta_C$  27.9 (C-7) 上的碳直接相关联,

$\delta_H$  2.12 (3H, s) 与  $\delta_C$  16.2 (C-10) 上的碳直接相关联,  $\delta_H$  6.92 (1H, s, H-3) 与  $\delta_C$  116.1 (C-3) 上的碳直接相关联,  $\delta_H$  6.46 (1H, s, H-6) 与  $\delta_C$  117.8 (C-6) 上的碳直接相关联。结合 HMBC 谱 (图 3), 可以看到 H-8 和 H-9 [ $\delta_H$  1.12 (3H, m), 1.12 (3H, m)] 与 C-4 ( $\delta_C$  134.1) 和 C-7 ( $\delta_C$  27.9) 相关, H-7 [ $\delta_H$  3.12 (1H, m)] 与 C-2 ( $\delta_C$  150.6)、C-4 ( $\delta_C$  134.1)、C-3 ( $\delta_C$  116.1)、C-9 ( $\delta_C$  23.2)、C-8 ( $\delta_C$  23.1) 相关, H-6 [ $\delta_H$  6.46 (1H, s, H-6)] 与 C-1 ( $\delta_C$  150.5)、C-4 ( $\delta_C$  134.1)、C-10 ( $\delta_C$  16.2) 相关, 并与 C-7 ( $\delta_C$  27.9) 弱相关, H-3 [ $\delta_H$  6.92 (1H, s, H-3)] 与 C-2 ( $\delta_C$  150.6)、C-5 ( $\delta_C$  127.2)、C-7 ( $\delta_C$  27.9) 相关, 并与 C-4 ( $\delta_C$  134.1)、C-6 ( $\delta_C$  117.8)、C-10 ( $\delta_C$  16.2) 弱相关, H-10 [ $\delta_H$  2.12 (3H, s)] 与 C-1 ( $\delta_C$  150.5)、C-4 ( $\delta_C$  134.1)、C-6 ( $\delta_C$  117.8) 相关, 推断出结构片段 1 (图 3)。

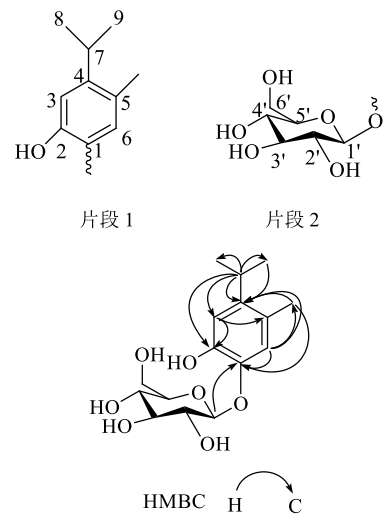


图 3 化合物 2 的结构片段和 HMBC 相关

Fig. 3 Structure fraction and HMBC correlations of compounds 2

HSQC 谱中,  $\delta_H$  3.82~3.23 (5H) 和  $\delta_C$  78.2 (C-3')、78.0 (C-5')、75.1 (C-2')、71.6 (C-4')、62.6 (C-6') 上的碳直接相关联,  $\delta_H$  4.61 (1H, d,  $J = 1.0$  Hz, H-1') 与  $\delta_C$  104.6 (C-1') 上的碳直接相关联。结合 HMBC 谱, 可以看到  $\delta_H$  3.82~3.23 (5H) 中的氢与 C-1' ( $\delta_C$  104.6)、C-3' ( $\delta_C$  78.2)、C-5' ( $\delta_C$  78.0)、C-2' ( $\delta_C$  75.1)、C-4' ( $\delta_C$  71.6)、C-6' ( $\delta_C$  62.6) 有相关, 故推出结构片段 2 (图 3)。在 HMBC 谱中, 还观察到  $\delta_H$  4.61 (1H, d,  $J = 1.0$  Hz, H-1') 与 C-1 ( $\delta_C$  150.5) 有相关, 推测葡萄糖连接在苯环 1 位碳上。综上所述, 化合物 2 的结构鉴定为 2-羟基-4-异丙基-5-甲基苯-O- $\beta$ -D-葡萄糖苷, 经 Sci Finder Web 数据库检索, 该化合物

为新化合物，命名为地椒昔 A。

#### 4 讨论

地椒是一种具有特色的民族药，民间常用于治疗感冒、头痛、牙痛以及腹胀冷痛等，宁夏回族聚集区的百姓用地椒及其组成的复方治疗胃癌。对地椒乙醇提取物的醋酸乙酯部位化学成分进行研究，共分离鉴定了 2 个化合物，均为新化合物。本课题组在对地椒的前期研究中，发现地椒含有野黄芩苷、野黄芩素、迷迭香酸等化合物，为地椒的化学成分研究提供了依据，也为其今后开发和利用提供了参考依据。

#### 参考文献

- [1] 李世瑞, 栾殿梅, 张学忠, 等. 五肋百里香挥发油抑制关节肿胀的作用 [J]. 中国药学杂志, 1982, 17(5): 49.
- [2] 宋玲, 隋宏. 地椒对心脑血管疾病抗氧化作用的研究现状 [J]. 宁夏医科大学学报, 2018, 40(11): 1355-1357.
- [3] 杨杰, 刘一亚, 王米渠. 百里香活性成分及活血化瘀分子机制探讨 [J]. 中医研究, 2011, 24(12): 2-4.
- [4] 温馨, 李广智. 地椒草提取物杀菌效果及其毒性观察 [J]. 职业卫生与病伤, 2018, 33(6): 384-386.
- [5] 孙震晓, 孙晋华, 程霜, 等. 中药地椒提取物的抗肿瘤作用及对小鼠免疫功能的影响 [J]. 中西医结合学报, 2003, 1(3): 209-210.
- [6] 孙震晓, 张英慧, 程霜, 等. 中药地椒乙醇提取物对人白血病细胞增殖的抑制作用 [J]. 中西医结合学报, 2005, 3(5): 382-385.
- [7] 胡怀生. 甘肃庆阳地椒草叶挥发油的化学成分研究 [J]. 陇东学院学报, 2018, 29(3): 21-24.
- [8] 路立峰, 李赫宇, 张晓林, 等. 地椒挥发油提取工艺及 GC-MS 成分分析 [J]. 食品研究与开发, 2016, 37(19): 163-167.
- [9] 田玉欣, 王炎, 谢梦, 等. 地椒中总黄酮的含量测定及其体外抗氧化活性的研究 [J]. 华西药学杂志, 2017, 32(1): 37-39.
- [10] 颜承, 陈晓怡, 隋宏, 等. 地椒抗氧化活性部位化学成分的研究 [J]. 北京中医药大学学报, 2016, 39(5): 383-389.
- [11] Liu Y, Ge W H, Zhu Y Q, et al. NIS-Induced enone difunctionalization for the synthesis of naphtho[2,3-b]furan-4,9-diones [J]. Eur J Org Chem, 2017, 3: 551-559.
- [12] Baiju T V, Almeida R G, Sivanandan S T, et al. Quinonoid compounds, via, reactions of lawsone and 2-aminonaphthoquinone with  $\alpha$ -bromonitroalkenes and nitroallylic acetates: Structural diversity by C-ring modification and cytotoxic evaluation against cancer cells [J]. Eur J Med Chem, 2018, doi: 10.1016/j.ejmec.2018.03.079.
- [13] 孙丽娟, 刘红兵, 范文乾, 等. 牛至的化学成分研究(I) [J]. 中草药, 2007, 38(12): 1782-1785.